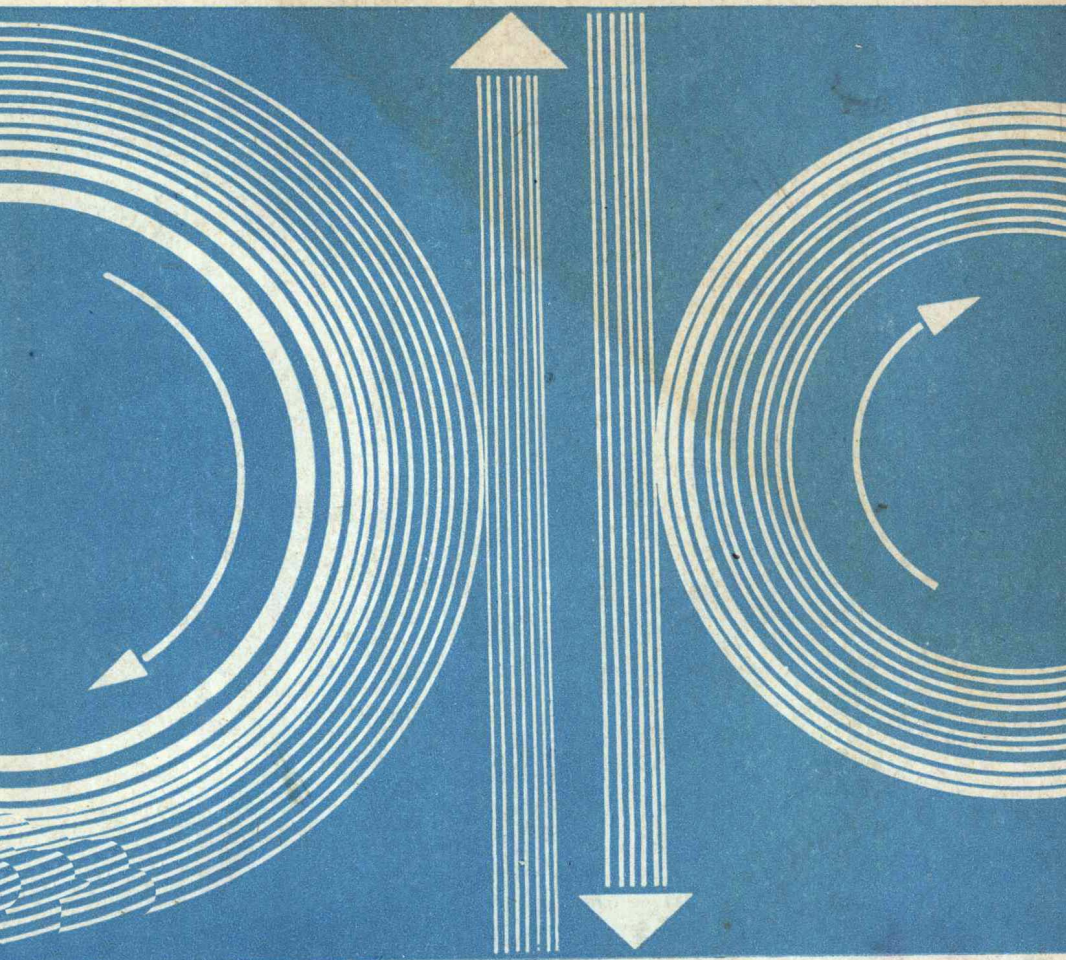


ТЕОРЕТИЧЕСКАЯ И ПРИКЛАДНАЯ МЕХАНИКА



Министерство высшего и среднего специального образования БССР
Белорусский ордена Трудового Красного Знамени
политехнический институт

**ТЕОРЕТИЧЕСКАЯ
И
ПРИКЛАДНАЯ
МЕХАНИКА**

РЕСПУБЛИКАНСКИЙ МЕЖВЕДОМСТВЕННЫЙ СБОРНИК

Выпуск 11

МИНСК "ВЫШЭЙШАЯ ШКОЛА" 1984

Г л а в н ы й р е д а к т о р

А.Х.Ким, доктор технических наук, профессор

Р е д а к ц и о н н ы й с о в е т :

Г.Ф.Ершов, В.А.Ибрагимов, А.Е.Крушевский, В.И.Коробко, М.А.Левин,
Е.Н.Ламбина, М.Д.Мартыненко, И.А.Прусов,
В.П.Ставров, Л.А.Ротт, И.Ф.Шидловский

Ответственный за выпуск И.Ф. Шидловский

Настоящий сборник посвящен вопросам механики, которые разрабатываются в вузах БССР. Тематика статей соответствует трем традиционным направлениям механики: общей механике, механике жидкостей и газов и механике твердого деформируемого тела.

В сборнике печатаются статьи, посвященные решению некоторых задач реодинамики вязкопластичных сред, задач математической и прикладной упругости, вопросам статистической механики и др.

Предназначен для преподавателей общетехнических дисциплин соответствующего профиля, студентов вузов, аспирантов, инженерно-технических и научных работников.

**ОБ ОПТИМАЛЬНЫХ ПРОЕКТАХ ПЛОСКИХ УПРУГИХ ТЕЛ
С КОНЦЕНТРАТОРАМИ ПРИ СЛОЖНОМ КВАЗИСТАТИЧЕСКОМ
НАГРУЖЕНИИ**

1. Оптимальное проектирование упругих элементов конструкций состоит в выборе конфигурации элемента, обеспечивающей наибольшую несущую способность на множестве конфигураций, допустимых по деформативным, прочностным, технологическим и другим признакам [1]. В математическом аспекте указанная проблема принадлежит классу нелинейных обратных задач теории упругости для области V с границей S , содержащей неизвестную заранее часть S_z , и может быть сформулирована в виде

$$\sigma_{ij,j} = 0 \quad (V); \quad \sigma_{ij,n_j} = T_i^* \quad (S_T = S_{T1} + S_{T2}); \quad (1)$$

$$g_{ij}(\sigma_{mn}, e_{mn}) = 0 \quad (V); \quad k_{ij}(e_{mn}; u_{m,n}) = 0 \quad (V); \quad (2)$$

$$u_i = u_i^* \quad (S_u = S_{u1} + S_{u2});$$

$$W(\sigma_{ij}) \leq 0 \quad (V + S) \quad (i, j, m, n = 1, 2), \quad (3)$$

где принято, что части S_T и S_u поверхности S с заданными значениями усилий T_i^* и перемещений u_i^* могут содержать как фиксированные (отмеченные индексом "1"), так и варьируемые при решении задачи (отмеченные индексом "2") участки; через g_{ij} , k_{ij} для краткости обозначены операторы определяющих уравнений упругости и соотношений Коши, и, кроме того $u_{m,n} = \partial u_m / \partial x_n$. Ограничение (3) отвечает какой-либо из классических теорий прочности, поэтому допустимая область N изменения T_i^* , u_i^* , отвечающая условиям эксплуатации элемента V , одновременно должна определять (для фиксированной V) решение упругой задачи (1), (2), не нарушающее неравенства (3). Несущая способность при этом определяется как некоторая мера области N , например, наибольшее значение параметра λ при пропорциональном нагружении $T_i^* = T_i^0 \lambda$, если функции $T_i^0(x_K)$, $u_i^*(x_K)$ не зависят от λ .

Класс $\{V, N\}$ допустимых конфигураций V (с учетом его назначения) и отвечающих им областей нагрузления N определяет множество допустимых решений задачи (1) – (3), на котором и отыскивается оптимальный проект – форма области V , обеспечивающая наибольшую несущую способность.

Из сказанного следует, что отыскание оптимального проекта требует замыкания системы (1) – (3) с помощью дополнительных соотношений для определения части поверхности $S_2 = S_{T2} + S_{u2}$, варьируемой в процессе решения.

Для случая двухосного растяжения бесконечной пластины с одним или несколькими незагруженными отверстиями решение задачи (1) – (3) построено в замкнутом виде в [1] , где в качестве дополнительного принималось условие равнопрочности на контурах отверстий:

$$\sigma_t = \sigma_0 \quad (S_{t2} = S_t), \quad (4)$$

где σ_t , σ_0 – тангенциальная компонента тензора напряжений (t -касательная на S) и предел прочности при растяжении соответственно. Оптимальность указанного решения доказана в работе [2] , где рассматривался также случай пластины с жесткими включениями; условие (4) в последнем случае заменялось более общим предельным соотношением

$$\tau = \tau_0 \quad (S_2) \quad (5)$$

для интенсивности касательных напряжений τ . В указанном виде критерий равнопрочности справедлив и для других типов напряженных состояний – кручения, изгиба (см. также [1]).

Существенным ограничением применимости результатов [1, 2] является зависимость оптимальной формы концентраторов от параметра неоднородности $r = \sigma_y^\infty / \sigma_x^\infty$ для предельных усилий σ_x^∞ , σ_y^∞ , приложенных к пластине на бесконечности. Поэтому для нагружений с изменяющимся параметром r условие равнопрочности утрачивает смысл и должно быть обобщено с учетом истории изменения внешних нагрузок. Указанное обобщение применительно к пластинам с отверстиями рассматривается ниже.

2. Будем считать изменение T_i^* , u_i^* в процессе нагружения параметризованным с помощью совокупности параметров $\lambda(\lambda_1, \dots, \lambda_k)$ из области λ .

Поскольку для всех значений параметров из λ одновременно удовлетворить условию (4) невозможно при любом выборе S_2 , примем в качестве целевого минимизируемый на $\{V, N\}$ функционал

$$Q = \int \int (\sigma_t - \sigma_0)^2 f(\lambda) d\lambda ds. \quad (6)$$

Здесь $f(\lambda)$ – плотность распределения, учитывающая вклад состояния с параметрами λ ($\int f d\lambda = 1$). В частности, для постоянных значений T_i^* , u_i^* следует принять в качестве $f(\lambda)$ k -мерную функцию Дирака $\delta(\lambda - \lambda_0)$. Выбор постоянной σ_0 будет указан ниже.

Необходимые условия экстремума получаются, как обычно, при обращении в нуль первой вариации δQ с учетом связей (1), (2) и полагая вариации $\delta \sigma_{ij}$, δe_{ij} , δu_i независимыми взаимно и от параметров λ . Вариация функционала (6) для переменной области V имеет вид

$$\begin{aligned} \delta Q = & \int \int f d\lambda \int_{S_2} \left\{ 2(\sigma_t - \sigma_0) [2\sigma_{ij} n_j t_i (\delta n)]' + \delta \sigma_{ij} t_i t_j + \right. \\ & \left. + \frac{\partial \sigma_{ij}}{\partial n} t_i t_j \delta n + (\sigma_t - \sigma_0)^2 \kappa \delta n \right\} ds, \end{aligned} \quad (7)$$

где δn – расстояние вдоль нормали n_i между кривой S_2 и ее измененной формой S'_2 (рис. 1); t_i – вектор касательной на S_2 , κ – кривизна на S_2 .

Будем считать внешние нагрузки на S_{T2} нулевыми, причем для пластины с отверстиями поверхность S_{u2} отсутствует:

$$T_i^* = 0 \quad (S_{T2}). \quad (8)$$

Полагая функции σ_{ij} , u_i непрерывно дифференцируемыми вплоть до границы S и вводя множители Лагранжа p_i , q_i для связей (1), с учетом (8) находим:

$$\delta \int_V p_i \delta \sigma_{ij,j} dv = \int_V p_i \delta \sigma_{ij,j} dv = \int_S \delta \sigma_{ij} n_j p_i ds - \int_V p_{i,j} \delta \sigma_{ij} dv; \quad (9)$$

$$\begin{aligned} \delta \int_{S_{T1}} (\sigma_{ij} n_j - T_i^*) q_i ds &= \int_{S_{T1}} q_i \delta \sigma_{ij} n_j ds; \quad \delta \int_{S_{T2}} q_i \sigma_{ij} n_j ds = \\ &= \int_{S_{T2}} q_i [\delta \sigma_{ij} n_j - \sigma_{ij} t_j (\delta n)' + \frac{\partial \sigma_{ij}}{\partial n} n_j \delta n] ds. \end{aligned}$$

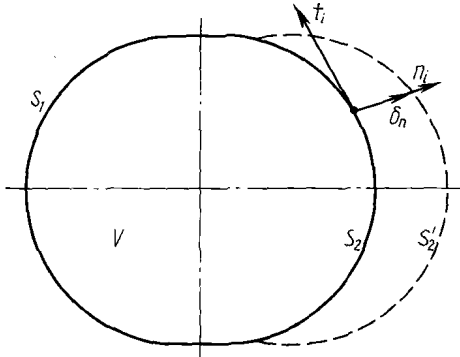


Рис. 1. Варьирование области.

Имея в виду лишь одно из естественных краевых усилий для уравнений Эйлера вариационной задачи, получающееся на $S_2 = S_{T2}$ в качестве множителя при вариации $\delta \sigma_{ij}$, вариации связей (2) в дальнейшем не понадобятся. Из (7), (9) получаем

$$\int_{S_2} [2 \int_{\Lambda} (\sigma_t - \sigma_0) f d\lambda] t_i t_j \delta \sigma_{ij} ds + \int_{S_2} (p_i + q_i) \delta \sigma_{ij} n_j ds = 0,$$

откуда в силу произвольности $\delta \sigma_{ij}$ имеем на S_2

$$[2 \int_{\Lambda} (\sigma_t - \sigma_0) f d\lambda] t_i t_j + (p_i + q_i) n_j = 0 \quad (i, j = 1, 2). \quad (10)$$

Вследствие ортогональности слагаемых в (10) заключаем, что

$$\int_{\Lambda} (\sigma_t - \sigma_0) f d\lambda = 0 \quad (S_2). \quad (11)$$

Соотношение (11) является искомым обобщением условия равнопрочности (4) при переменном нагружении и переходит в последнее для фиксированной нагрузки $f(\lambda) = \delta(\lambda - \lambda_0)$:

$$\int_{\Lambda} [\sigma_t(\lambda, s) - \sigma_0] \delta(\lambda - \lambda_0) d\lambda = \sigma_t(\lambda_0, s) - \sigma_0 = 0.$$

Отметим, что аналогичный вывод легко может быть проведен и для случая, когда варьируется часть S_{u2} линии S_u (полагая при этом $u_i^* = 0$), а также для более общего условия (5).

3. Рассмотрим приложение условия (11) к задаче о бесконечной пластине со свободными от усилий отверстиями, подвергнутой двухосному нагружению $\sigma_{11} \rightarrow \sigma_1^\infty$, $\sigma_{22} \rightarrow \sigma_2^\infty$, $\sigma_{12} \rightarrow 0$ ($x_1, x_2 \rightarrow \infty$), причем внешние усилия являются переменными: $\sigma_1^\infty = \sigma_1^\infty(\lambda)$; $\sigma_2^\infty = \sigma_2^\infty(\lambda)$.

Обозначим через $\sigma_{ij}(\lambda, x_K)$ тензор напряжений в произвольный момент нагружения λ . В силу линейности задачи очевидно [3], что

$$\sigma_{ij}(x_K, \lambda) = \sigma_1^\infty(\lambda) \sigma_{ij}^{(1)}(x_K) + \sigma_2^\infty(\lambda) \sigma_{ij}^{(2)}(x_K), \quad (12)$$

причем

$$\sigma_{11}^{(1)} \rightarrow 1; \quad \sigma_{22}^{(2)} \rightarrow 1; \quad \sigma_{22}^{(1)}; \quad \sigma_{11}^{(2)}; \quad \sigma_{12}^{(1)}, \quad \sigma_{12}^{(2)} \rightarrow 0$$

$$(x_1, x_2 \rightarrow \infty). \quad (13)$$

Поэтому вследствие (11) тензор осредненных напряжений

$$\sigma_{ij}^0 = \int_{\Lambda} \sigma_{ij}(x_K, \lambda) f d\lambda = k_1 \sigma_{ij}^{(1)} + k_2 \sigma_{ij}^{(2)} \quad (k_{1,2} = \int_{\Lambda} \sigma_{1,2}^\infty(\lambda) f d\lambda) \quad (14)$$

удовлетворяет (11) на контурах отверстий S_2 соотношению

$$\sigma_t^0 = \sigma_0 \quad (\sigma_t^0 = \sigma_{ij}^0 t_i t_j). \quad (15)$$

Таким образом, согласно (15), условие равнопрочности (4) должно удовлетворяться для решения (12) в некоторый промежуточный момент нагружения, определяемый соотношением параметров k_1, k_2 .

Решение задачи (13), (15) при отсутствии на S_2 усилий

$$\sigma_n^{(1)} = \sigma_{nt}^{(1)} = 0; \quad \sigma_n^{(2)} = \sigma_{nt}^{(2)} = 0 \quad (16)$$

найдем посредством комплексного представления Колосова–Мусхелишвили:

$$\sigma_n + \sigma_t = 2(\phi(\xi) + \overline{\phi(\xi)});$$

$$\sigma_t - \sigma_n + 2i \sigma_{tn} = 2\xi^2 \frac{\omega'}{\bar{\omega}'} (\bar{\omega} \frac{z'}{\omega'} + \psi) \quad (S);$$

$$(\phi(\xi) = \phi(\omega(\xi)); \quad \Psi(\xi) = \Psi(\omega(\xi))),$$

где $z = \omega(\xi)$ – конформное отображение исходной плоскости $z = x_1 + ix_2$ на вспомогательную плоскость с выброшенными кругами [1]. Ограничиваюсь

для краткости случаем одного отверстия ($n = 1$), в соответствии с (12), (14) положим

$$\phi(\xi, \lambda) = \sigma_1^\infty \phi_1(\xi) + \sigma_2^\infty \phi_2(\xi); \quad \psi(\xi, \lambda) = \sigma_1^\infty \psi_1(\xi) + \sigma_2^\infty \psi_2(\xi);$$

$$\phi_0(\xi) = \int\limits_{\Lambda} \phi f d\lambda; \quad \psi_0(\xi) = \int\limits_{\Lambda} \psi f d\lambda. \quad (18)$$

Поскольку функция $\omega(\xi)$ неизвестна, будем искать вначале осредненные функции (18). Из (13), (15), (17) при $\omega \rightarrow \xi, \xi \rightarrow \infty$ следует, что

$$\phi_0 + \bar{\phi}_0 \rightarrow \frac{k_1 + k_2}{2}; \quad \psi_0 \rightarrow \frac{k_2 - k_1}{2} \quad (\xi \rightarrow \infty). \quad (19)$$

Кроме того, на окружности $|\xi| = 1$, являющейся образом контура отверстия S_2 , согласно (15)–(17) имеем

$$\phi_0 + \bar{\phi}_0 = -\frac{1}{2} \sigma_0; \quad 2\xi^2 \frac{\omega'}{\bar{\omega}} (\bar{\omega} \frac{\phi_0'}{\omega'} + \psi_0) = \sigma_0. \quad (20)$$

Из (19), (20) следует, что во внешности круга $|\xi| \geq 1$

$$\phi_0(\xi) = \frac{1}{4} \sigma_0 + iC; \quad k_1 + k_2 = \sigma_0 \quad (21)$$

(C – постоянная, определяемая вращением на бесконечности).

Второе краевое условие в (20) тогда запишется

$$\psi_0 \omega' = \frac{1}{2} \sigma_0 \bar{\omega}' \xi^2. \quad (22)$$

Решение задачи (19), (22) для $\psi(\xi), \omega(\xi)$ достигается сведением ее к задаче линейного сопряжения и имеет вид

$$\omega(\xi) = \xi - \frac{2a}{\sigma_0} \cdot \frac{1}{\xi}; \quad \psi_0 \omega' = a + \frac{\sigma_0}{2\xi^2} \quad (a = \frac{k_2 - k_1}{2}). \quad (23)$$

Из (23) следует, что контур S_2 является эллипсом с параметром

$$m = \frac{k_1 - k_2}{\sigma_0} \quad \left(\frac{|k_1 - k_2|}{\sigma_0} = \left| \frac{k_1 - k_2}{k_1 + k_2} \right| \leq 1 \right).$$

Функции $\phi_k(\xi), \psi_k(\xi)$ ($k = 1, 2$) теперь могут быть найдены способом, указанным в [3].

Полагая, в частности для полученного выше решения $f = \delta(\lambda - \lambda_0)$, из (12), (14) находим

$$k_1 = \sigma_1^\infty; \quad k_2 = \sigma_2^\infty, \quad \sigma_{ij}^0 = \sigma_{ij},$$

поэтому согласно (16) заключаем, что для фиксированных нагрузок $\sigma_1^\infty, \sigma_2^\infty$ указанное решение совпадает с полученным в работе [1].

С целью оценки концентрации напряжений в общем случае примем в (12) траекторию нагружения

$$\sigma_1^\infty = p\lambda; \quad \sigma_2^\infty = p(1-\lambda); \quad f(\lambda) = 1/\lambda_0 \quad (0 \leq \lambda \leq \lambda_0). \quad (24)$$

Из (14), (21) имеем

$$k_1 = \frac{1}{2} p \lambda_0; \quad k_2 = p(1 - \frac{1}{2} \lambda_0); \quad p = \sigma_0, \quad m = \lambda_0 - 1. \quad (25)$$

Решение (12) согласно формулам (82) работы [3] дает значение тангенциального напряжения на S_2 в любой момент нагружения, равное

$$\sigma_t = \frac{p}{1 - 2m \cos 2\theta + m^2} [\lambda(1 - m^2 + 2m - 2\cos 2\theta) + (1 - \lambda)(1 - m^2 - 2m + 2\cos 2\theta)]. \quad (26)$$

При $\lambda_0 \rightarrow 0$ или $\lambda_0 = 1$ из (25) следует $m = -1$ или $m = 0$, поэтому при одноосном ($\sigma_2^\infty = p$, $\sigma_1^\infty = 0$) или двухосном симметричном нагружениях оптимальным проектом является пластина с разрезом или круговым вырезом соответственно, что очевидно непосредственно.

Из соотношений (24) – (26) следует также, что полученная конфигурация отверстия удовлетворяет в процессе нагружения условию (4) лишь при значении параметра $\lambda = \lambda_0/2$.

В общем случае анализ зависимости (26) показывает, что наименьшее значение максимального напряжения по формуле (26) за весь период нагружения в выражения (24) достигается при выборе $m = \lambda_0 - 1$ согласно зависимости (25), позволяя, в частности, достигнуть выигрыша в прочности по сравнению с вариантом пластины, имеющей круговые отверстия.

Отметим, что согласно критерию прочности наибольшее значение напряжения в теле не должно превышать допустимого значения σ_c .

Поэтому согласно (26) имеем

$$\max_{\lambda, \theta} |\sigma_t(\lambda, \theta)| = \sigma_c \quad (0 \leq \lambda \leq \lambda_0, \quad 0 \leq \theta \leq 2\pi). \quad (27)$$

Соотношение (27) определяет допустимый уровень усилия $p = \sigma_0$. В частности, для симметричного нагружения (24) при $\lambda_0 = 1$ и оптимального проекта пластины получаем

$$3p = 3 \sigma_0 = \sigma_c; \quad p = \sigma_0 = \frac{\sigma_c}{3}.$$

Аналогичным образом могут быть построены оптимальные проекты пластин с несколькими отверстиями.

ЛИТЕРАТУРА

- Черепанов Г.П., Ершов Л.В. Механика разрушения. – М.: Наука, 1976. – 224 с.
- Ибрагимов В.А. О равнопрочных конфигурациях упругих тел. – Изв. АН БССР. Сер. физ.-мат. наук, 1983, № 4, с. 33.
- Мусхелишвили Н.И. Некоторые основные задачи математической теории упругости. – М.: Наука, 1966. – 708 с.

В.А.ИБРАГИМОВ, д-р физ.-мат. наук,
В.М.РОМАНЧАК (БПИ)

О КРИТЕРИИ РАЗРУШЕНИЯ ДЛЯ ОБЛАСТЕЙ С УГЛОВЫМИ ТОЧКАМИ

Предложенный в [1] критерий разрушения упругих тел, граница которых содержит угловую точку, имеет вид

$$N = N_c. \quad (1)$$

Здесь N – коэффициент при главном члене сингулярного разложения поля напряжений (локально симметричного в системе координат x, y , отнесенной к угловой точке,

$$\sigma_{yy} \sim \frac{N}{r^\lambda} : \quad r = \sqrt{x^2 + y^2} \longrightarrow 0, \quad (2)$$

зависящий от геометрии области и условий нагружения; λ – показатель особенности, являющийся функцией угла выреза ψ .

Критерий (1) введен из соображений размерности по аналогии со случаем трещины-разреза. Однако степень его мотивированности в сравнении с последним далеко не одинакова, поскольку обоснование соотношения (1) в рамках энергетической теории или силового подхода затруднено. Другим недостатком критерия (1) является необходимость экспериментального определения постоянной разрушения N_c для всех значений угла ψ .

В целях физической трактовки соотношения (1) и постановки рационального эксперимента целесообразно дать истолкование критерия (1) с позиций линейной механики разрушения.

Основным предположением в последней является допущение о наличии в опасной точке области начальной трещины [1], малой в сравнении с характерным размером тела H . Распространение трещины служит причиной разрушения материала, причем ответственным за разрушение является коэффициент интенсивности K локального поля напряжений около конца трещины [1]. Критерий распространения трещины в линейной механике разрушения имеет вид

$$K = K_c. \quad (3)$$

Связь между величинами N , K может быть найдена из решения упругой задачи для исходной области с внесенным разрезом

$$F(N, K, H, l) = 0, \quad (4)$$

поэтому критерий разрушения с учетом (3) принимает вид

$$F(N, K_c, H, l) = 0. \quad (5)$$

Учитывая малость параметра l/H (что характерно для начальных трещин в высокопрочных сталях и других конструкционных материалах), зависимость (4) установим с помощью метода внешних и внутренних разложений [2]. В качестве внешнего разложения следует принять асимптотику поля напряжений

на бесконечности в задаче о бесконечном теле с угловым вырезом и разрезом в его вершине. Внутренним является разложение поля напряжений для исходной задачи без разреза в окрестности угловой точки.

Таким образом, предлагаемый подход к определению условия разрушения тела сводит решение задачи к определению коэффициента N в рамках обычного упругого анализа для тела без трещины; критическое значение параметра N (или, что эквивалентно, внешних усилий) определится тогда из соотношения (5).

В качестве примера, иллюстрирующего предложенный подход, рассмотрим случай антиплаской деформации цилиндрического тела с осью x_3 и попечечным сечением, отнесенным к декартовым осям x, y . Компоненты тензора напряжений могут быть определены по формуле

$$\tau_x - i \tau_y = f'(z) = F(z),$$

где $F(z)$ – аналитическая функция комплексной переменной $z = x + iy$. Отличной от нуля компонентой смещения будет смещение вдоль оси x_3

$$\omega(x_1, x_2) = \frac{1}{\mu} \operatorname{Re} f(z).$$

Главный вектор усилий R , действующий на произвольную дугу AB в области, занимаемой телом, определяется соотношением

$$R = \operatorname{Im} f(t), t \in AB. \quad (6)$$

Для асимптотического анализа поля напряжений в области, содержащей угловую точку с трещиной, рассмотрим однородную задачу для клина с разрезом в вершине (рис. 1).

Берега клина и разреза будем считать незагруженными, поэтому согласно (6) на ломаной LOMP имеем:

$$f(z) - \overline{f(z)} = 0.$$

Отобразим указанную область на верхнюю полуплоскость вспомогательной плоскости комплексного переменного ξ с помощью функции

$$z = \omega(\xi) = 1(-i)^{\lambda} (\xi - 1)^{m_1} \left(1 - \frac{m_1}{m_2} \xi\right)^{m_2};$$

$$(\lambda = \frac{2\beta}{\pi}; m_1 = \frac{-\beta+\alpha}{\pi}; m_2 = \frac{\beta-\alpha}{\pi}). \quad (7)$$

Краевое условие (6) преобразуется к виду

$$g(\xi) - \overline{g(\xi)} = 0 \quad (\operatorname{Im} \xi = 0), \quad (8)$$

где $g(\xi) = f(\omega(\xi))$ – аналитическая в верхней полуплоскости функция.

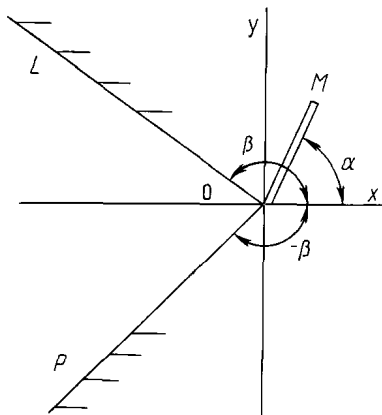


Рис. 1. Клин с разрезом в вершине.

Решениями задачи (8) являются функции

$$f_K(\xi) = C \xi^K, \quad (k = \pm 1, \pm 2, \dots; \operatorname{Im} C = 0). \quad (9)$$

Отрицательным значениям соответствуют решения с неограниченными смещениями в окрестности точки $\xi = 0$, являющейся образом вершины трещины M при отображении (9). Значения $k \geq 2$ определяют решения, не влияющие на асимптотику в вершине угла, поэтому следует принять в (9) $k = 1$.

Главный член разложения указанного решения при $z \rightarrow \infty$ согласно (7), (9) запишется

$$f(z) = Ci\left(\frac{z}{1}\right)^\lambda \left(\frac{m_1}{m_2}\right)^s, \quad (10)$$

где $\lambda = \pi/2\beta$; $s = (\alpha - \beta)/2\beta$.

Аналогично разложение в окрестности точки M ($z \rightarrow 1e^{i\alpha}$) имеет вид

$$f(z) = C_1(z - 1e^{i\alpha})^{\frac{1}{2}} \left(\frac{m_2}{m_1}\right)^{\frac{1}{2}} \left(\frac{\pi}{l\beta}\right)^{\frac{1}{2}} e^{-\frac{H}{2}} \quad (11)$$

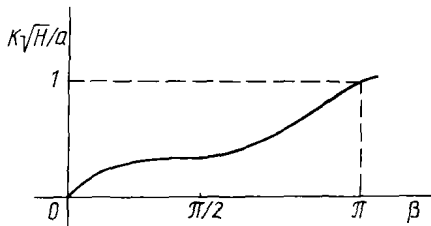


Рис. 2. Зависимость коэффициента интенсивности от угла.

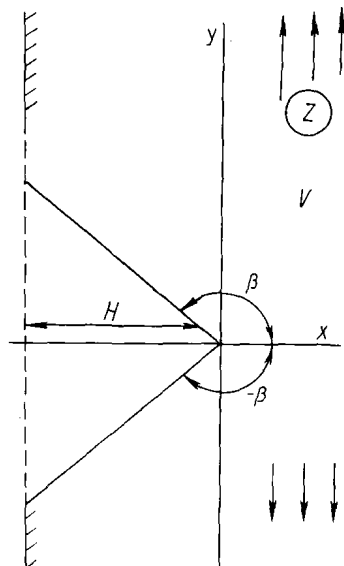


Рис. 3. Полуплоскость с угловым вырезом.

Коэффициенты интенсивности определяются формулами:

$$K = \lim_{z \rightarrow 1e^{i\alpha}} [\sqrt{(z - 1e^{i\alpha})} (\tau_y + i\tau_x)]; z \rightarrow 1e^{i\alpha};$$

$$N = \lim_{z \rightarrow \infty} [z^{-\lambda} (\tau_y + i\tau_x)]; z \rightarrow \infty.$$

Из соотношений (9) – (11) следует, что

$$K = \frac{1}{2} C \left(\frac{m_2}{m_1}\right)^{\frac{1}{2}} \left(\frac{\pi}{l\beta}\right)^{\frac{1}{2}} e^{-\frac{H}{2}},$$

(12)

$$N = C \lambda l^{-\lambda} \left(\frac{m_1}{m_2} \right)^s.$$

Анализ первого из выражений (12) показывает, что максимальное значение $|K|$ достигается при $\alpha = 0$, поэтому наиболее опасной является трещина, симметричная относительно берегов выреза. Полагая в (12) $\alpha = 0$, получим зависимость K и N :

$$\frac{K}{N} = \left(\frac{\beta}{\pi} \right)^{\frac{1}{2}} l^{\lambda - \frac{1}{2}}. \quad (13)$$

Представляет интерес зависимость коэффициента интенсивности K от угла выреза. Из анализа размерностей при однопараметрическом нагружении тела сдвиговыми усилиями интенсивности p следует, что $N = apH^{1-\lambda}$ (a – безразмерная постоянная), поэтому из (13) находим

$$\frac{K\sqrt{H}}{a} = p \left(\frac{\beta}{\pi} \right)^{\frac{1}{2}} \left(\frac{l}{H} \right)^{\lambda - \frac{1}{2}}. \quad (14)$$

График зависимости (14) от величины угла β представлен на рис. 2.

Согласно условию (2) и соотношению (13) критерий разрушения принимает вид

$$N = K_c \left(\frac{\pi}{\beta} \right)^{\frac{1}{2}} l^{\frac{1}{2} - \lambda} \quad (\lambda = \pi/2\beta), \quad (15)$$

где коэффициент N отыскивается из обычного упругого анализа задачи без трещины.

Таким образом, в сравнении с критерием (1) экспериментального определения требуются лишь параметр K_c и характерная для данного материала длина начальной трещины l , что существенно снижает объем эксперимента.

В качестве примера приложения критерия (15) рассмотрим задачу о полу平面 с угловым вырезом V (рис. 3).

Граница тела свободна от усилий. На бесконечном удалении от выреза приложены сдвиговые усилия $\tau_y = \tau_\infty$, $\tau_x = 0$.

Конформное отображение верхней полуплоскости $\operatorname{Im}\xi \geq 0$ переменного ξ на область V имеет вид

$$z = \omega(\xi) = - \frac{iR}{m} \int_0^\xi \left(1 - \frac{1}{\xi^2} \right)^{\frac{1}{2}} - \frac{\beta}{\pi} d\xi. \quad (16)$$

$$\text{Здесь } m = \int_0^1 \left(\frac{1}{t^2} - 1 \right)^{\frac{1}{2}} dt; \quad R = -H \cos \beta,$$

где H – глубина выреза.

В плоскости ξ получаем следующую краевую задачу:

$$f(\xi) - \overline{f(\xi)} = 0 \quad (\operatorname{Im}\xi = 0; \quad -\infty < \operatorname{Re}\xi < +\infty);$$

$$\operatorname{Im}\left(\frac{f(\xi)}{\omega(\xi)} \right) \rightarrow -\tau_\infty; \quad \xi \rightarrow \infty. \quad (17)$$

Решением краевой задачи (17) служит функция

$$f(\xi) = \frac{\tau_\infty R}{m} \xi.$$

Коэффициент интенсивности напряжений в вершине угла определится теперь по формуле

$$N = \tau_\infty \left(\frac{2m\beta}{\pi R} \right)^{\lambda-1} \quad (\lambda = \pi/2\beta). \quad (18)$$

Критическое значение усилия τ_∞ , отвечающее страгиванию трещины, теперь определится из (18) и (13) в виде

$$\tau_\infty = K_c l^{1/2 - \lambda} R^{\lambda-1} \left(\frac{\pi}{\beta} \right)^{\lambda - 1/2} \left(\frac{1}{2m} \right)^{\lambda-1}. \quad (19)$$

В частном случае вырождения углового выреза в разрез длины H ($\beta = \pi$) критерий разрушения (19) принимает вид $\tau_\infty \sqrt{\frac{H}{2}} = K_c$, совпадающий с известным $\tau_\infty \sqrt{\frac{H+1}{2}} = K_c$ при условии малости параметра $1/H$.

Другой предельный случай соответствует переходу к полуплоскости с трещиной длины l ($\beta \rightarrow \pi/2$). Из (19) следует тогда соотношение $\frac{\tau_\infty \sqrt{1}}{\sqrt{2}} = K_c$, совпадающее с точным.

ЛИТЕРАТУРА

1. Ч е р е п а н о в Г.Н. Механика хрупкого разрушения. — М.: Наука, 1974. — 640 с.
2. Ч е р е п а н о в Г.Н., Е р ш о в Л.В. Механика разрушения. — М.: Наука, 1974. — 224 с.

УДК 539.3

А.Е.КРУШЕВСКИЙ, канд. техн. наук,
В.Н.АПАНОВИЧ, канд.техн.наук (БПИ)

О СХОДИМОСТИ ВАРИАЦИОННОГО МЕТОДА ПРИ ТОЧЕЧНОМ ВЫПОЛНЕНИИ ГРАНИЧНЫХ УСЛОВИЙ

При решении задач теории упругости аналитическими вариационными методами скорость сходимости приближенных решений к точному в значительной степени определяется аппроксимативными свойствами применяемых координатных систем.

В настоящее время для улучшения качества аппроксимации решения краевой задачи применяются структуры, удовлетворяющие либо граничным условиям (ГУ), либо внутренним условиям равновесия [1].

В работе [2] показано, что использование полиномиальных координатных систем, точно удовлетворяющих условиям равновесия внутри тела, значительно улучшает сходимость приближенных решений и повышает устойчивость вычислительного процесса. В данной работе исследуется сходимость вариаци-

онных решений некоторых трехмерных задач теории упругости при точном выполнении не только условий равновесия внутри тела, но и граничных условий в некоторых точках поверхности.

Методика удовлетворения внутренних и граничных условий базируется на построении систем алгебраических уравнений связей между коэффициентами стандартных степенных рядов [1] с последующим преобразованием последних на основе общих решений уравнений связей [3].

В работе рассмотрены задачи о равновесии куба со стороной $l = 1$ при следующих исходных данных.

Задача 1. $\vec{P}(x, y, z) = \{0; 0; \cos\pi x \cos\pi y\}$, при $z = 0,5$;

$$\vec{P}(x, y, z) = \{0; 0; -\cos\pi x \cos\pi y\}, \text{ при } z = -0,5,$$

где $\vec{P}(x, y, z)$ – вектор поверхностных нагрузок.

Задача 2. $\vec{P}(x, y, z) = \{0; 0; -25\}$, при $z = 0,5; -0,15 \leq x \leq 0,15; -0,15 \leq y \leq 0,15$;

$$\vec{P}(x, y, z) = \{0; 0; 25\}, \text{ при } z = -0,5; -0,15 \leq x \leq 0,15; -0,15 \leq y \leq 0,15.$$

Задача 3. $\vec{U}(x, y, z) = \{0; 0; -w_0\}$, при $z = 0,5$;

$$\vec{V}(x, y, z) = \{0; 0; w_0\}, \text{ при } z = -0,5.$$

Модуль упругости материала куба $E = 2 \cdot 10^6$, коэффициент Пуассона $\nu = 0,3$, смещение грани $w_0 = 0,1$.

В силу симметрии решения рассматривалась 1/8 куба. ГУ удовлетворялись точно в точках с координатами: $(0; 0; 0,5)$ для задачи 1; $(0; 0; 0,5)$ для задачи 2; $(0; 0; 0,5); (0; 0,25; 0,5); (0; 0,5; 0,5); (0,25; 0; 0,5); (0,25; 0,25; 0,5); (0,5; 0; 0,5); (0,5; 0,5; 0,5)$ для задачи 3.

Исследование сходимости проводилось сравнением численных результатов решений задач при различных порядках аппроксимации вектора смещений куба. При этом максимальная степень n аппроксимирующих полиномов последовательно увеличивалась от $n = 1$ до $n = 9$. Поскольку уравнения равнове-

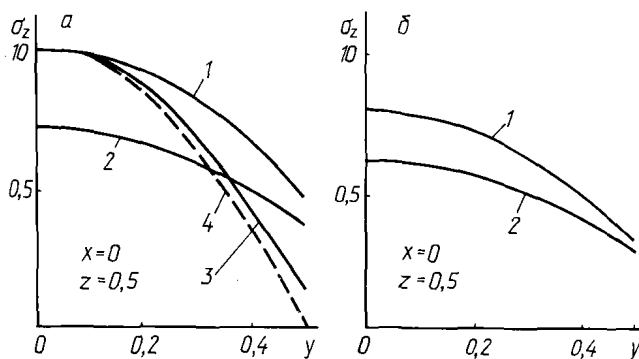


Рис. 1. Распределение напряжений σ_z для задачи 1: а – на поверхности куба; б – внутри куба; 1 – решение с выполнением граничного условия для $n = 3$; 2, 3 – соответственно решение без выполнения граничных условий для $n = 3$ и $n = 5$; 4 – точное решение.

сия внутри тела удовлетворялись точно, то оценка погрешности решений проводилась также по выполнению граничных условий.

Численные эксперименты, проведенные на ЭВМ ЕС-1022, показали, что точное выполнение граничных условий в области максимальной интенсивности поверхностных нагрузок значительно улучшает сходимость приближенных решений к точному. Для задачи 1 (рис. 1) показаны распределения напряжений σ_z по поверхности и внутри куба, рассчитанные для $n = 3$ (второе приближение) и $n = 5$ (третье приближение). Из графиков рис. 1 видно, что точечное удовлетворение граничных условий позволяет значительно уточнить расчетное напряженно-деформированное состояние куба в заданной области при низких порядках аппроксимации вектора смещений. Наблюдается хорошая сходимость приближенных решений к точному по энергии (рис. 2), где $F(V)$ – значение минимизируемого энергетического функционала; N – количество координатных функций, удерживаемых в решении.

На рис. 3 показаны графики напряжений σ_z на верхней грани куба, вычисленные для задачи 2. Анализ этих графиков показывает, что точечное выполнение граничных условий в области приложения нагрузки способствует успешному выполнению указанных условий на всей грани. С увеличением порядка аппроксимации поверхность куба "освобождается" от напряжений в тех областях, где не заданы поверхностные нагрузки. При решении этой задачи также наблюдается хорошая сходимость приближенного решения к точному по энергии (рис. 4).

В задаче 3 граничное условие в перемещениях точно интерполировалось по семи точкам. Решение проведено для $n = 5$.

Анализ расчетных значений перемещений верхней грани куба показывает, что условие $w = -w_0$ при $z = 0,5$ (соответственно $w = w_0$ при $z = -0,5$) на всей грани выполняется точно. Значения перемещений u и v на этих же гранях на 4–5 порядков меньше, чем значения перемещений w , что свидетельствует о высокой точности выполнения условий $u = v = 0$ при $z = \pm 0,5$.

На рис. 5, а, б показаны графики перемещений боковых граней куба, из которых видно, что при сжатии между жесткими плитами без скольжения куб приобретает четко выраженную "бочкообразную" форму. Этот факт подтверждается данными экспериментов [4].

В табл. 1 приведены значения напряжений в некоторых точках куба, полученные авторами (верхняя строка), вариационно-разностным методом [5] (вторая строка), методом М.М.Филоненко–Бородича [4] (третья строка), методом Ритца [6] (четвертая строка). Здесь напряжения отнесены к $2E w_0/1$.

Как видно из таблицы, внутри куба полученное авторами решение хорошо согласуется с решением Б.Е.Победри, С.В.Шешенина [5]. В частности, оба решения обнаруживают тенденцию уменьшения напряжений σ_z при приближении к поверхности куба. Однако предлагаемое решение хуже отражает особенность напряжений на контуре площадки давления. Как показано в работах [4, 5], напряжения σ_z при стремлении к границе площадки резко возрастают. Сглаживание особенности в предлагаемом решении связано, очевидно, с весьма грубой аппроксимацией вектора смещений куба.

Таким образом, анализ полученных результатов показывает, что точечное удовлетворение граничных условий является эффективным средством уточнения вариационных решений краевых задач в заданных областях. При этом в

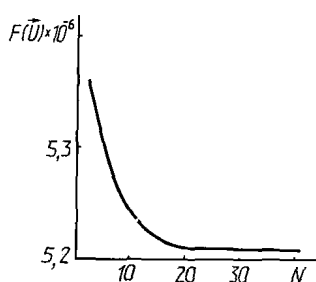


Рис. 2. Сходимость приближенных решений по энергии для задачи 1.

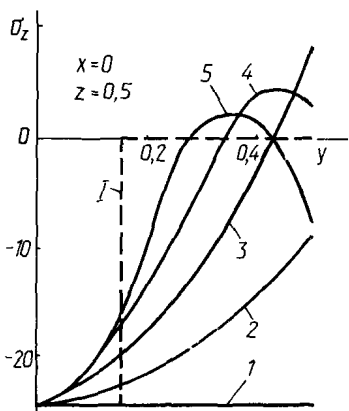


Рис. 3. Распределение напряжений σ_z по поверхности куба для задачи: 1 – 5 – соответствен-но $n = 1$; 1 – точное решение.

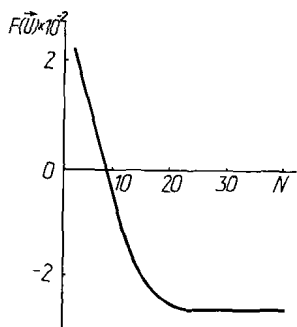
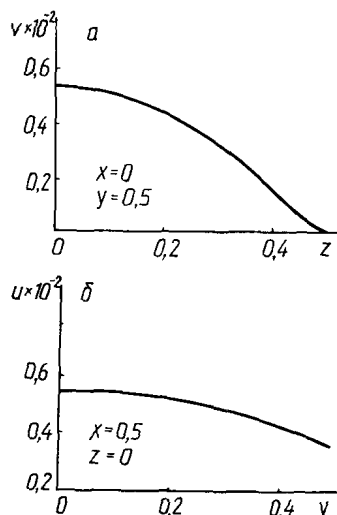


Рис. 4. Сходимость приближенных решений по энергии для задачи 2.

Рис. 5. Графики перемещений боковой поверхности куба при сжатии между двумя жесткими плитами без проскальзывания.



Значения напряжений σ_z в некоторых точках куба

$x = 0; z = 0$			$x = 0; z = 0,5$		
y	0,0	0,25	0,5	0,0	0,25
σ_z	1,14	1,13	1,11	0,80	0,76
	1,20	1,17	1,02	0,98	1,01
	1,11	1,21	0,97	1,01	0,94
	–	–	–	1,65	1,56
					1,21